

1 2016 年秋季中国南方降水异常的环流特征及海温影响

2 蒋子瑶^{1,2}, 徐海明^{1,2}, 马静^{1,2}

- 3 1. 南京信息工程大学气象灾害预报预警与评估协同创新中心/气象灾害教育部重点实验室/气候与环境变
4 化国际合作联合实验室, 南京 210044;
5 2. 南京信息工程大学大气科学学院, 南京 210044

6
7 **摘要:** 本文利用中国气象台站观测降水、英国 Hadley 中心海温和 NCEP/NCAR 再分析
8 数据集等资料, 研究了 2016 年秋季中国南方降水异常偏多的环流特征及其海温影响。
9 结果表明, 2016 年秋季东亚副热带西风急流偏强, 我国南方地区位于急流入口区的右
10 侧, 有利于产生上升运动; 同时西太平洋副热带高压强度偏强、面积偏大、位置偏北偏
11 西, 对应副高西南侧的东南风将热带太平洋的暖湿气流向我国南方输送, 有利于降水偏
12 多。另外, 2016 年秋季登陆我国的台风异常偏多, 频繁活动的台风给我国南方带来了
13 大量降水, 也是导致我国南方降水异常偏多的原因之一。进一步研究表明, 2016 年秋
14 季南方降水异常偏多主要与同期赤道西太平洋和东南太平洋海温异常偏高有关, 上述海
15 区的海温异常通过激发向下游传播的遥相关波列或通过 Gill 响应对东亚环流产生影响,
16 进而有利于中国南方降水增多。通过 CAM5.3 (Community Atmosphere Model Version
17 5.3) 一系列的敏感性试验, 验证了上述的结果。

18 **关键词:** 中国南方地区; 秋季降水; 环流特征; 海温异常; 数值模拟

19 **文章编号**

20 doi: 10.3878/j.issn.1006-9895.2011.20180

22 Atmospheric circulation characteristics of heavy 23 precipitation events over the southern China in the autumn 24 of 2016 and impact of SST

25 JIANG Zi-yao^{1,2}, XU Hai-ming^{1,2}, MA Jing^{1,2}

- 26 1. Key Laboratory of Meteorological Disaster/KLME / ILCEC / CIC-FEMD, Nanjing University of
27 Information Science & Technology, Nanjing 210044, China;
28 2. School of Atmospheric Sciences, Nanjing University of Information Science & Technology, Nanjing
29 210044, China

30 **Abstract:** Based on the precipitation data from weather stations in China, UK Hadley Centre
31 SST (Sea Surface Temperature) and NCEP/NCAR reanalysis datasets, this paper studies the
32 atmospheric circulation characteristics of the abnormally heavy precipitation events over the
33 southern China in the fall of 2016 and impact of SST. Results show that the subtropical
34 westerly jet in East Asia was much stronger in the fall of 2016, and the southern China was
35 just located to the right of the jet stream entrance, which was conducive to an ascending
36 motion. The western Pacific subtropical high also was much stronger than its normal, with a
37 larger area and more northwestward shifted location. The anomalous southeasterly winds on
38 the southwest side of the western Pacific subtropical high transported warm and moist air
39 from the tropical Pacific to the southern China, leading to heavy precipitation there. In
40 addition, more landing typhoons along the coast of the Southeast China also contributed to
41 the heavy precipitation. Further analysis shows that the heavy rainfall event was mainly
42 related to the abnormally higher SST over the equatorial western and southeastern Pacific
43 simultaneously on inter-annual time scales. These aforementioned SST anomalies could
44 affect the East Asian atmospheric circulation through exciting downstream-propagating
45 teleconnection wave trains or Gill-type atmospheric responses. The above results are further
46 confirmed by a series of numerical model simulations using CAM5.3 (Community
47 Atmosphere Model Version 5.3).

48 **Key words:** the southern China; anomalous autumn precipitation in 2016; characteristics
49 of atmospheric circulation; SST anomalies; numerical model simulations

50

51 1 引言

52 在全球变暖背景下，旱涝灾害、高温热浪和台风等极端天气气候事件频发（Izrael et al.,
53 2007）。国内外学者针对极端事件已有大量的研究工作（Trenberth and Fasullo, 2012; Coumou
54 and Rahmstorf, 2012; 高荣等, 2018）。强降水引发的城市内涝、洪水、山体滑坡等自然灾害，
55 往往会造成人民生命财产的重大损失，故使其被广泛关注。

56 以往对我国大范围降水异常的研究主要集中在冬夏两季。前人围绕冬季我国不同地区的
57 降水多寡已开展诸多工作（丁一汇等, 2008; Zhang et al., 2018）。夏季作为降水异常的高
58 发时段，无论是在年代际尺度（黄荣辉等, 1999; 黄荣辉等, 2013）、年际尺度上（吴萍等,
59 2017; 方浩和乔云亭, 2019），还是个例分析（丁一汇, 2015; 袁媛等, 2017），我国气象
60 工作者对降水异常的成因已经进行了较为深入的研究。然而，对秋季降水异常的研究相对较
61 少，且大都集中在华西秋雨异常（梁萍等, 2019; 陈剖等, 2020）以及近几年来出现的西南
62 秋季干旱（沙天阳等, 2013; 张顾炜等, 2016）。

63 大范围异常降水的形成主要受大气环流的直接影响。我国东部的降水异常与东亚副热带

64 西风急流（张耀存和况雪源，2008；金荣花等，2012）、稳定维持的中纬度阻塞高压（Chen
65 and Zhai, 2014；张庆云和郭恒，2014）和南侵的东北冷涡（何金海等，2006；刘慧斌等，2012）
66 等中高纬度环流系统有关。我国东部大范围降水异常同时也受到低纬度地区大气环流系统的
67 影响，如南亚高压（张庆云等，2007；王黎娟等，2009）、西太平洋副热带高压（张庆云和
68 陶诗言，2003；陶诗言和卫捷，2006）以及东亚夏季风（竺可桢，1934；黄士松和汤明敏，
69 1995；Feng and Hu, 2004）异常也分别通过影响高空辐散条件和低空水汽输送等对降水产生
70 影响。黄荣辉等（2013）指出东亚地区夏季降水与欧亚型、丝绸之路型和东亚—太平洋型等
71 遥相关型的变化有关。此外，大气的低频振荡作为联系不同纬度间相互作用的形式之一，对
72 我国东部降水异常也存在一定影响（翟盘茂等，2016）。

73 引起大气环流异常的原因主要涉及到外强迫信号，包括海温异常（李崇银等，2002）、
74 土壤湿度异常（陈海山和周晶，2013）、极冰异常（杨修群和黄士松，1993）等，其中海温
75 异常是影响东亚环流异常的重要因子之一。海温异常的年际尺度信号例如厄尔尼诺—南方涛
76 动（陶诗言和张庆云，1998；何金海等，2014；Zhang et al., 2018）、印度洋偶极子（李崇
77 银和穆明权，2001；黄刚等，2016）等，年代际尺度信号例如太平洋年代际振荡（李崇银等，
78 2002；张庆云等，2007；Yang et al., 2017）、大西洋多年代际振荡（Kucharski et al., 2016；Li
79 et al., 2016；Sun et al., 2017）等，均可引起东亚上空大气环流异常。

80 通常情况下，秋季大都干燥少雨，但2016年秋季我国南方出现了较为异常的气候特征
81 （竺夏英和宋文玲，2017）：全国平均降水量164.4 mm，较往年同期偏多37%，其中南方
82 地区降水异常尤为突出，达1967年以来历史同期最高值，多地台站连续降水量突破历史极
83 值，导致了严重的次生灾害，如泥石流、洪涝、山体滑坡等，给我国国民经济建设和农业生产
84 以及人们的财产安全造成了巨大损失。本文旨在针对2016年秋季中国南方强降水现象，
85 通过诊断分析大气环流特征和外强迫信号，并在此基础上利用气候模式开展一系列敏感性试
86 验，探讨造成该降水异常的可能成因。

87 2 资料与方法

88 2.1 资料

89 本文使用的资料主要有：（1）中国气象局国家气象信息中心整编的1967–2019年中国
90 国家级地面气象站基本气象要素日值数据集（V3.0）逐日降水观测资料及国家气候中心提供
91 的160站月平均降水观测资料；（2）中国气象局热带气旋资料中心(<http://www.typhoon.org.cn>)
92 提供的热带气旋最佳路径数据集（Ying et al., 2014）；（3）1967–2017年美国气象环境预报
93 中心/美国国家大气研究中心（NCEP/NCAR）逐月再分析资料（Kalnay, 1996），水平分辨
94 率为 $2.5^{\circ} \times 2.5^{\circ}$ ；（4）1956–2017年英国气象局Hadley中心月平均海表温度资料（Rayner et
95 al., 2003），水平分辨率为 $1^{\circ} \times 1^{\circ}$ 。文中各要素气候态均指1981–2010年各要素的平均值，
96 秋季指北半球9–11月。

97 **2.2 方法**

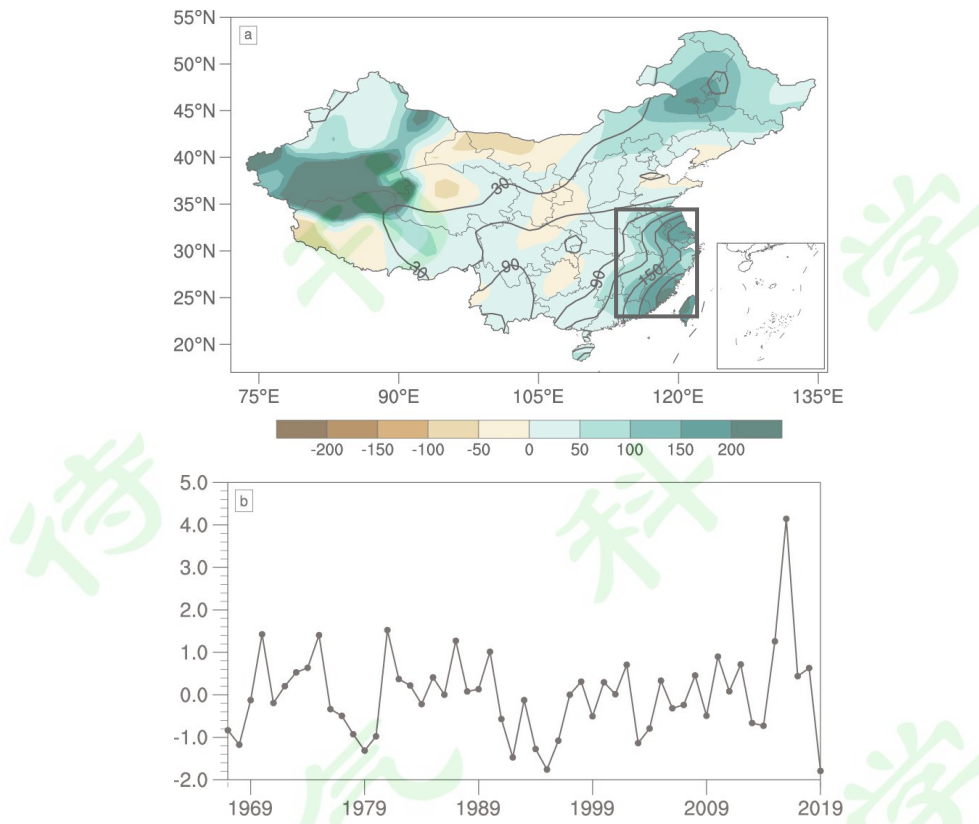
98 本文使用了趋势分析、谐波分解、相关分析和合成分析等方法。另外，本文中识别热带
99 气旋降水采用任福民等（2001）和王咏梅等（2006）提出的方法，其主要思路如下：首先从
100 分析降水场的结构入手，通过获取各台站的邻站降水量，选取最大可能的雨带中心，定义雨
101 带的主要特征及边缘，将降水场分离成不同的雨带；然后判定这些雨带及各台站与台风中心
102 的距离是否满足控制阈值，最终得到可能由多条不同雨带以及零星台站组成的台风雨带。具
103 体计算步骤可参考上述两篇文献。

104 本文采用的模式为通用地球系统模式（Community Earth System Model, 简称 CESM）1.2.2
105 版本（Liu et al., 2015），是 2010 年 7 月美国国家大气科学研究中心向外推出的全球耦合气
106 候模式，模式包括五个地球物理模块以及一个耦合器，通过耦合技术，能较准确模拟各圈层
107 之间的相互作用，从而重现过去、模拟现在或者预测未来气候变化。本文运行的通用大气环
108 流模式（Community Atmosphere Model Version 5.3, 简称 CAM5.3）是 CESM 中的大气模块，
109 CAM5.3 既可以与海洋、陆面等模式耦合运转，也可以单独使用，模拟大气环流变化。模式
110 水平分辨率为 $1.9^\circ \times 2.5^\circ$ ，全球共有 96 （经向） $\times 144$ （纬向）个格点。垂直方向上为 $\sigma-p$
111 混合坐标系，共有 30 层，最顶层位于 3.643 hPa。

112 **3 2016 年秋季降水和环流异常特征**

113 **3.1 降水量异常分布**

114 图 1a 给出了 2016 年秋季全国降水量及降水距平百分比。与常年同期相比，我国大部分
115 地区秋季降水量正常或偏多。全国偏多两成以上的台站约占 53%，其中江苏、浙江、上海、
116 福建和安徽降水量均达 1967 年以来历史最高值，尤其是福建省，全省平均降水量达 298.2
117 mm，几乎为气候平均值的 3 倍。将 2016 年我国南方降水明显偏多的地区（ $22^\circ\text{N}-33^\circ\text{N}$ ，
118 $113^\circ\text{E}-122^\circ\text{E}$, 图 1a 黑色方框）作为降水关键区，并将关键区区域平均的降水标准化时间序
119 列定义为中国南方秋季降水指数（图 1b），可见该地区自 1967 年以来，2016 年秋季降水位
120 列历史同期第一。



121
122 图 1 a. 2016 年秋季全国降水量（等值线，单位: mm）及降水距平百分比（填色，单位: %）
123
124

125 （黑色方框表示降水关键区）；
126
127 b. 1967–2019 年中国南方秋季降水指数
128

129 3.2 台风降水

130 2016 年秋季共有 14 个台风在西太平洋生成，相较于往年同期的 11.5 个明显偏多，其中
131 登陆我国的有 4 个，较往年同期的 2.5 个偏多（竺夏英和宋文玲，2017），频繁活动的台风
132 对我国南方秋季降水产生了重要影响（图 2）。台风“莫兰蒂”于 9 月 15 日登陆福建省厦
133 门市，级别达强台风级，9 月 14 至 15 日，浙江南部和东部、江西东南部、福建大部、广东
134 东北部以及台湾大部地区有大到暴雨，局地发生大暴雨或特大暴雨。台风“鲇鱼”于 9 月
135 28 日凌晨登陆福建省泉州市，在其影响下，9 月 27 至 30 日我国江淮、江南和华南地区陆续
136 出现大到暴雨，局地出现特大暴雨，且上述地区的累计降雨量可达 120–200 mm。台风“莎
137 莉嘉”和“海马”于 10 月中下旬先后登陆我国海南省万宁市和广东省东南部，前者导致 10
138 月 17 至 19 日江南地区西南部、华南地区大部等地有大到暴雨，广西南部、广东中部和南部、
139 海南等地有大暴雨，局部地区有特大暴雨；而后者主要使得广东出现暴雨到大暴雨，且局地
140 出现特大暴雨。

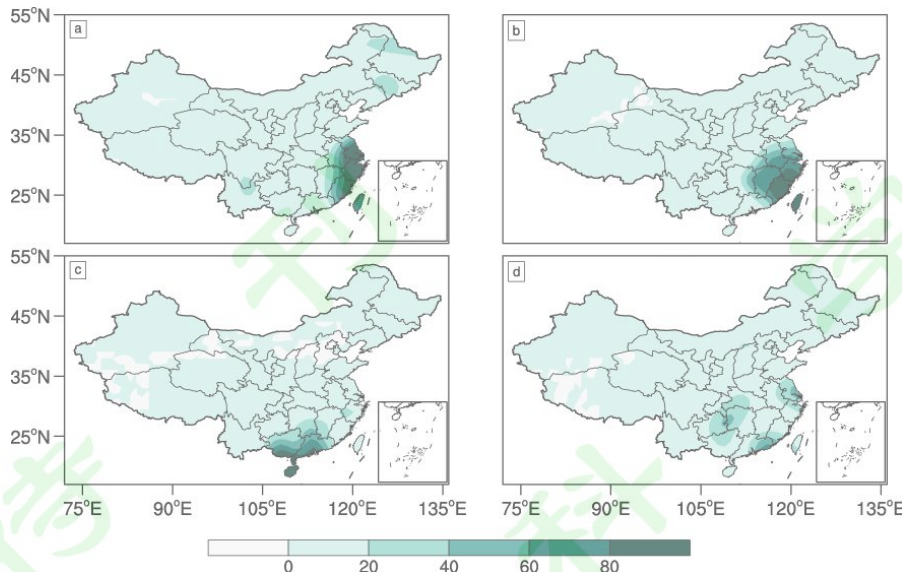


图 2 2016 年秋季“莫兰蒂”(a)、“鲇鱼”(b)、“莎莉嘉”(c)和“海马”(d)

四个台风引起的降水量分布 (对应的日期依次为: 9月 14—15 日、9月 27—30 日、10月 17—19 日和 10 月 20—21 日, 单位: mm)

Fig. 2 Accumulated precipitation (units: mm) caused by the Typhoons Meranti (a), Megi (b), Sarika (c), and Haima (d) during the periods of September 14—15, September 27—30, October 17—19 and October 20—21, 2016

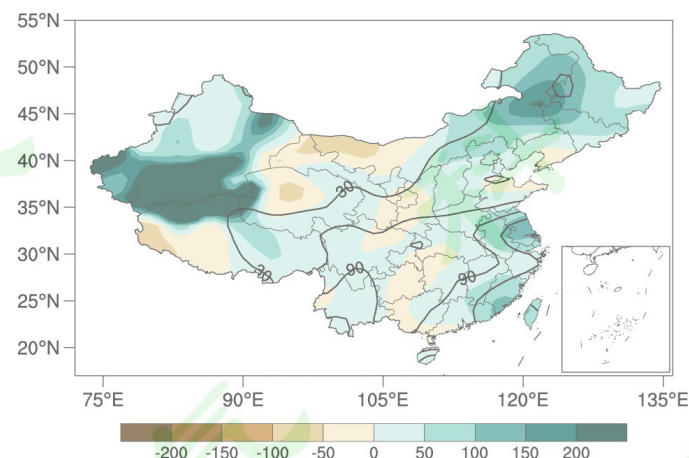


图 3 去除台风影响后的 2016 年秋季全国降水量 (等值线, 单位: mm) 及降水距平百分比 (填色, 单位: %)

Fig. 3 Accumulated precipitation (contours, units: mm) and precipitation anomaly percentage (shaded, units: %) over China in the autumn of 2016 with typhoon-related precipitation removed

上述登陆台风产生的降水是造成我国南方降水偏多的原因之一, 其大约占了秋季总降水量的 25.3%。除了上述台风引起的降水异常以外, 是否还存在其他环流因子导致降水量的异常? 这里, 我们利用识别热带气旋降水方法 (任福民等, 2001; 王咏梅等, 2006) 分离出由台风引起的降水量。图 3 给出了去除了台风降水后降水量异常分布。由图可见, 尽管去除了台风引起的降水量以后, 2016 年秋季南方降水仍较往年明显偏多, 且东南沿海大部地区降

158 水量达 120 mm 以上，偏多至少五成，局部地区偏多 1 倍以上（图 3）。因此除了台风引起
159 的降水异常以外，一定还存在其他因子导致 2016 年秋季我国南方降水异常偏多。

160 3.3 大气环流异常特征

161 图 4a 给出了 2016 年秋季 500 hPa 位势高度及其距平场、850 hPa 风场和 200 hPa 纬向风
162 场。由图可见，位于鄂霍次克海附近的低值中心强度偏强，有利于其南侧的副热带西风急流
163 增强，该急流的中心风速达 50 m/s。欧亚中高纬呈现出“西高东低”和“北高南低”的经向
164 型环流，西伯利亚北部处于偏强高压脊控制区，自乌拉尔山经贝加尔湖至白令海为宽广的低
165 槽区，新疆地区位于低槽前部，导致该地区秋季降水异常偏多（梅双丽和牛若芸，2017）。
166 我国东北地区上空为负高度距平所控制，有利于来自高纬度的冷空气向南入侵，加上南方水
167 汽输送偏强，可能是该地区秋季降水异常偏多的主要原因（竺夏英和宋文玲，2017）。而黄
168 河以南地区呈正高度距平，不利于冷空气南下。西太平洋副热带高压呈西西南—东东北走向，
169 较常年强度达到最强（图略）、面积明显偏大、脊线偏北、西伸脊点偏西。

170 从 2016 年秋季 850 hPa 风场距平（图 4b）上可见，赤道印度洋地区为偏南风异常，90°E
171 附近向北的越赤道气流异常偏强。孟加拉湾上空的异常西风途径中南半岛北部后继续北上，
172 我国南方地区出现南风异常。日本岛东侧存在一异常反气旋性环流中心，其南侧的东风异常
173 气流一直向西延伸至菲律宾附近，并与来自孟加拉湾的西南异常气流在南海南部上空汇合，
174 随后北上到达我国南方地区。

175 图 4c 为 2016 年秋季海平面至 300 hPa 整层积分水汽通量及水汽通量散度距平场。我国
176 秋季降水异常与两支水汽通道偏明显强有关，其中一支来源于赤道印度洋，其上空向北的水
177 汽输送与孟加拉湾的偏西水汽输送汇合后继续东行，越过中南半岛后经南海北部进入我国，
178 而后继续向北输送水汽至南方地区上空。另一支来自西太平洋副热带高压南侧，其上空异常
179 偏东的水汽输送西行至菲律宾附近转而北上，向我国南部输送水汽。南方地区上空出现异常
180 偏强的水汽辐合，表明暖湿气流水汽输送偏强，为该地区秋季降水提供了十分充足的水汽条件。
181

182 形成降水的另一个必要条件是垂直上升运动。从 2016 年秋季沿 113–122°E 纬向平均的
183 经向垂直环流图（图 4d）上可以看出，10–30°N 存在大范围一致的上升运动，上升气流到
184 达对流层上部后南北分流，向北的一支在 40°N 附近下沉，向南的一支则流向赤道。垂直速
185 度场距平上表现出我国南方地区从低层到高层均有明显的垂直速度正距平，上升运动强烈，
186 且在 700 hPa 和 500 hPa 附近出现了极大值。东亚副热带西风急流较往年偏强，上述上升运
187 动区刚好位于高空急流入口区的右侧，高层辐散产生的抽吸作用有利于上升运动加强并得以
188 维持，从而有利于降水的发生发展（Whitney, 1977）。

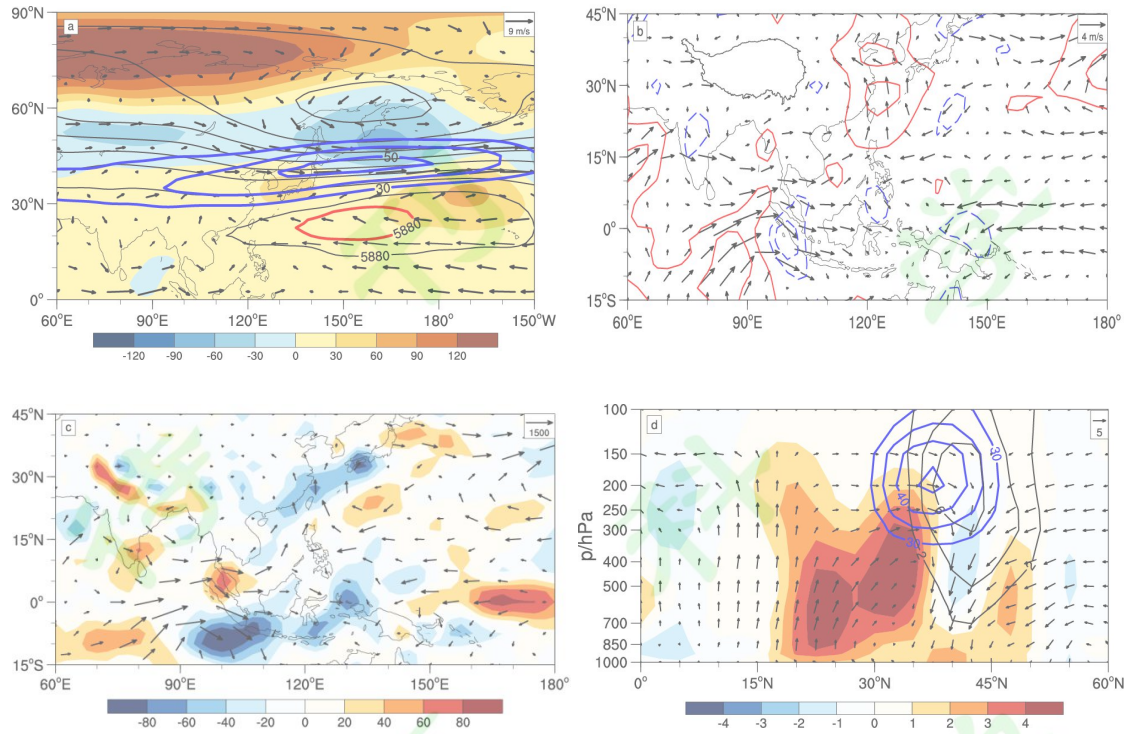


图 4 2016 年秋季大气环流及其异常

- a. 500 hPa 位势高度场（黑色等值线，单位: gpm）及其距平场（填色，单位: gpm）（粗红线为气候平均的 5880 等值线）、850 hPa 风场分布（箭头，单位: m/s）及 200 hPa 纬向风场（蓝色等值线，单位: m/s）；
 b. 850 hPa 风场距平分布（箭头，单位: m/s）及经向风分量距平分布（等值线，单位: m/s）；
 c. 地面至 300 hPa 整层积分水汽通量距平场（箭头，单位: kg/m/s）及水汽通量散度距平场（填色，单位: $10^{-5} \text{g}/\text{m}^2/\text{s}$ ）；
 d. 沿 $113^{\circ}\text{--}122^{\circ}\text{E}$ 纬向平均的经向垂直环流图（箭头，两个分量为经向风和垂直速度，单位分别为 m/s 和 -10^{-2}Pa/s ）和纬向风（蓝色等值线，单位: m/s）及其距平场（黑色等值线，单位: m/s）、垂直速度距平场（填色，单位: -10^{-2}Pa/s ）

Fig. 4 Atmospheric circulation and its anomalies in the autumn of 2016

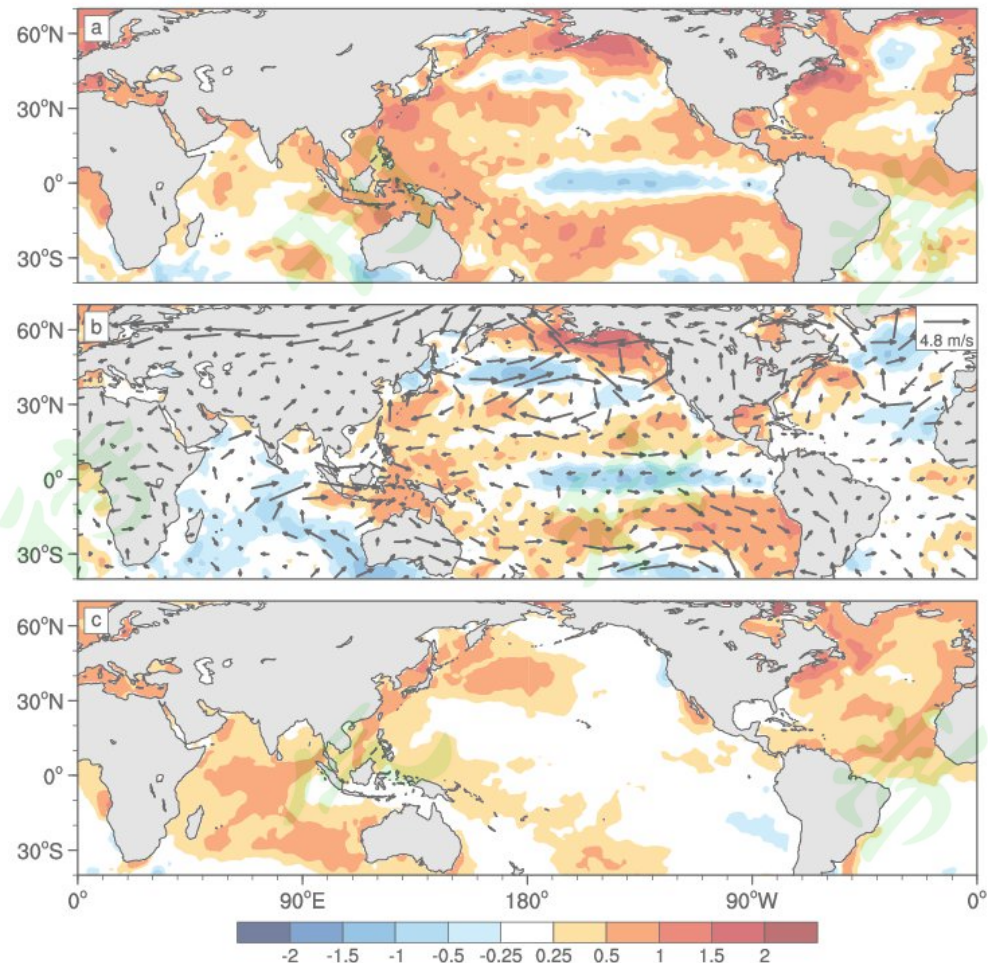
- a. Geopotential height (black contours, units: gpm) and its anomalies (shaded, units: gpm) at 500 hPa (The thick red line denotes the 5880 contour of climatological mean), winds at 850 hPa (arrows, units: m/s) and zonal winds at 200 hPa (blue contours, units: m/s);
 b. Wind anomalies (arrows, units: m/s) and meridional wind anomalies (contours, units: m/s) at 850 hPa;
 c. Anomalies of moisture flux integrated from surface up to 300 hPa (arrows, units: kg/m/s) and its divergences (shaded, units: $10^{-5} \text{g}/\text{m}^2/\text{s}$);
 d. Meridional vertical circulation averaged from 113°E to 122°E (arrows, meridional wind and vertical velocity in m/s and -10^{-2}Pa/s , respectively), zonal wind (blue contours, units: m/s) and its anomalies (black contours, unit: m/s), vertical velocity anomalies (shaded, units: -10^{-2}Pa/s)

210 4 环流异常成因分析

211 造成大范围环流异常的主要影响因子可以分为大气内部变率和外强迫信号，其中，海温
212 异常作为外强迫之一，常常对大范围大气环流异常有重要作用，本文将从这一角度展开讨论。

213 图 5a 给出了 2016 年秋季海温与多年平均的秋季海温之差。可以看出赤道太平洋呈现出
214 东冷西暖即东西偶极子型的海温异常分布，北太平洋呈南冷北暖的海温异常，西北太平洋、
215 西南太平洋、东南太平洋、北大西洋及印度洋北部则主要为海温正距平控制。

216 考虑到由于温室效应导致的全球变暖已是不争的事实 (Izrael et al., 2007)，因此上述海
217 温异常既包含了海温年际异常，也包含了与全球海温增暖相联系的海温年代际异常。这里我们
218 将 2016 年秋季海温异常分离成两部分，即时间尺度相对较短的年际异常和时间尺度相对
219 较长的年代际异常，海温年际异常用 2016 年秋季海温减去近十年（2006–2015 年）秋季平
220 均海温表征（图 5b），我们也用不同的十年平均，如 2005 至 2014 年，2008 至 2017 年平均，
221 得到的结果并无太大差异，而年代际异常则用近十年（2006–2015 年）秋季平均海温减去多
222 年（1956–2005 年）平均的秋季海温表征（图 5c）。由图 5b 可见，太平洋海温的年际异常
223 分布与 2016 年秋季异常基本一致，但前者异常程度较后者弱，此外，印度洋和北大西洋海
224 温的年际异常表现出负距平。由图 5c 可见，年代际海温异常明显的海区主要出现在印度洋、
225 北大西洋和北太平洋中纬度地区，海温均异常偏高。对比上述海温异常的分布可以发现，2016
226 年秋季太平洋海温异常以年际变化为主，而北大西洋和北印度洋海温异常则与背景场增暖有
227 关。接下来，我们将分别探究海温年际异常和背景场增暖对我国南方秋季降水的可能影响。



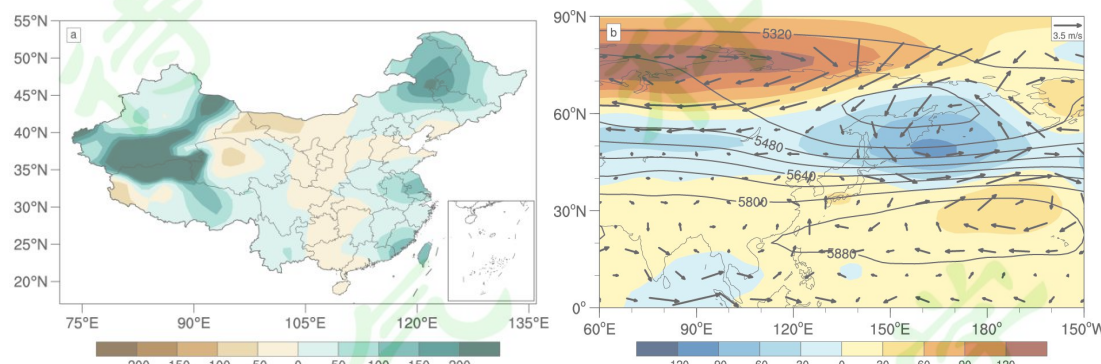
228
229 图 5 a. 2016 年秋季海温异常（2016 年秋季海温与多年平均的秋季海温之差，单位： $^{\circ}\text{C}$ ）；
230 b. 2016 年秋季海温与近十年秋季平均海温之差（填色，单位： $^{\circ}\text{C}$ ）和 850 hPa 风场距平分布（箭头，单位：
231 m/s）；
232 c. 近十年秋季平均海温与多年平均的秋季海温之差（单位： $^{\circ}\text{C}$ ）
233 Fig. 5 a. SST anomalies in autumn, 2016 (differences between SST in 2016 and multi-year averaged SST,
234 units: $^{\circ}\text{C}$);
235 b. Differences between SST in 2016 and averaged SST in the past ten years in autumn (shaded, units: $^{\circ}\text{C}$) and
236 corresponding wind differences at 850 hPa (arrows, units: m/s);
237 c. Differences between averaged SST in the past ten years and multi-year averaged SST in autumn (units: $^{\circ}\text{C}$)
238

239 4.1 海温年际异常对我国南方秋季降水的可能影响

240 一些学者认为 2016 年秋季西太平洋生成台风个数异常偏多与海温异常有关。Zhan 等
241 (2017) 提出 2016 年 9–10 月台风异常偏多可能是西太平洋增暖和中东太平洋类似 La Niña
242 型的海温分布共同作用的结果，Wang 等 (2019) 则认为 2016 年秋季北印度洋海温偏冷、
243 赤道西太平洋海温偏暖以及赤道中东太平洋海温偏冷的三极型海温模态 (tri-polar SST
244 pattern)，是造成东西风在西太平洋辐合的可能原因 (图 5b)，进而促使热带气旋的生成和
245 发展。2016 年秋季登陆我国的热带气旋个数异常偏多也可能与 La Niña 型的海温异常分布有
246 关。Liu 等 (2003) 和 Wu 等 (2004) 指出秋季 9–11 月 La Niña 型的海温异常分布可导致热

247 带印度洋上的西风异常向东延伸至中国南海地区，南海上空出现正涡度异常，与此同时，西
248 太平洋副热带高压增强西伸，这样的环流形势十分有利于登陆我国的台风偏多。因此，2016
249 年秋季热带太平洋西暖东冷的偶极子型海温异常分布可能是导致台风异常偏多的主要原因，
250 但该结论仍需要数值模式的验证。

251 图 6a 为去除台风降水后 2016 年秋季我国降水的年际变化。由图可见，南方地区的降水
252 分布特征与图 3 大致相同，但福建南部的降水大值区范围南扩至广东东部及整个台湾地区，
253 与之匹配的对流层中、低层大气环流距平场（图 6b）也与图 4a-b 极其相似，只是我国南方
254 地区上空 850 hPa 南风异常略有增加。因此，年际异常可能是导致 2016 年我国秋季降水异
255 常和东亚大气环流异常的主要原因。



256
257 图 6 2016 年秋季相对近十年秋季平均的物理量差值场

258 a. 降水（台风除外）距平百分比（单位：%）；

259 b. 500 hPa 位势高度距平场（填色，单位：gpm）（等值线为 2016 年秋季的 500 hPa 位势高度场）及 850 hPa
260 风场距平分布（箭头，单位：m/s）

261 Fig. 6 Differences of autumn meteorological variables between 2016 and the past ten years

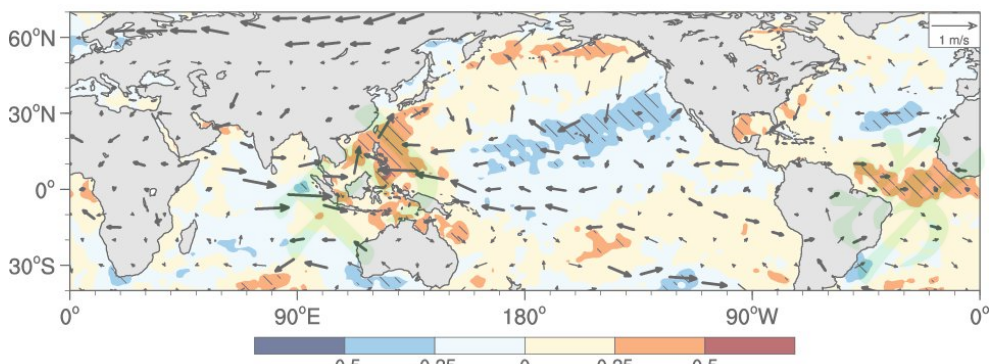
262 a. Precipitation (typhoon-related precipitation removed) anomaly percentage (units: %);

263 b. Geopotential height anomalies at 500 hPa (shaded, units: gpm) (contours denote 500 hPa geopotential height in
264 autumn, 2016) and wind anomalies at 850 hPa (arrows, units: m/s)

265
266 图 7 为 1967–2015 年年际时间尺度上中国南方秋季降水指数与全球同期海温的相关系数
267 及 850 hPa 回归风场。由图可见，中国南方秋季降水年际变化与赤道西太平洋西部和西北部
268 的海温呈显著的正相关，说明当赤道西太平洋和西北太平洋海温偏高时，我国南方秋季降水
269 偏多，这与 2016 年秋季两片海区的海温异常分布相一致。此外，两片海区上空的回归风场
270 也与 2016 年秋季相类似，赤道西太平洋存在东西异常风的辐合，风场辐合区与海温暖异常
271 相对应，表明该地区的海气之间明显表现为海洋对大气的强迫作用。另外，西北太平洋上空
272 也存在一异常反气旋式环流，其形成也可能与赤道西太平洋异常增暖有关。已有研究表明，
273 当西太平洋暖池异常偏暖时，其上空的对流活动异常增强，进而造成 Hadley 环流增强，同
274 时其北侧的下沉支增强北移动（黄荣辉和孙凤英，1994），可导致西太平洋副热带高压增强
275 北移（李业进和王黎娟，2016）。

276 上述分析表明，2016 年秋季赤道西太平洋和西北太平洋年际时间尺度上的异常增暖可
277 能是造成 2016 年秋季西太平洋副热带高压强度偏强、位置偏西偏北的重要原因，同时也是

278 导致南方降水异常偏多的重要原因。



279
280 图 7 年际尺度上的中国南方秋季降水指数与全球同期海温的相关（填色，斜线区域表示通过信度为 95% 的
281 显著性检验）及 850 hPa 回归风场（箭头，单位：m/s，粗箭头表示通过信度为 95% 的显著性检验）

282 Fig. 7 Simultaneous correlation coefficients between the autumn precipitation index in the southern China and
283 global SST on inter-annual time scales (shaded, the slashed areas denote the values significant at the confidence
284 level of 95%) and regression coefficients of wind at 850 hPa (arrows, the thick arrows denote the values significant
285 at the confidence level of 95%)

286

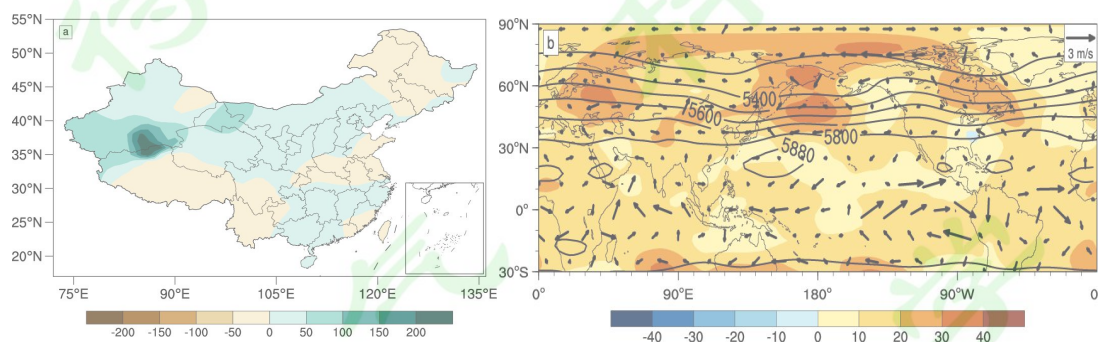
287 4.2 海温背景场增暖对我国南方秋季降水的可能影响

288 与年际异常类似，海温的年代际异常也可能通过影响大气环流从而对我国南方降水产生
289 影响。图 8a 给出了近十年秋季平均相对多年秋季平均的降水距平百分比。由图可见，我国
290 南方大部分地区为降水正异常，偏多五成以内的台站主要分布在江西大部、福建北部、浙江
291 大部以及安徽和湖北南部地区。从相应的 500 hPa 位势高度异常场（图 8b）上可以看出，北
292 半球对流层中层几乎全为位势高度正异常所控制，中纬度地区上空出现了三个位势高度正
293 异常大值中心，分别位于欧洲中部、北太平洋和北美东部，西太平洋副热带高压也有所增强。
294 从 850 hPa 风场距平（图 8b）上可见，库页岛以东的北太平洋上为一异常反气旋式环流中心，
295 其与位势高度正异常相对应。西太平洋副热带高压南侧的异常东风与来自孟加拉湾的异常西
296 风在菲律宾附近上空辐合，进而北上到达我国南方地区。上述大气环流的异常分布特征与
297 2016 年秋季环流异常场（图 3、图 4a-b）存在相似之处，但异常程度相对偏弱。因此，海温
298 背景场的增暖可能对 2016 年秋季我国南方降水异常起次要作用。

299 此外，热带地区的环流异常（图 8b）表现出了一定的独特性。赤道印度洋和赤道西太
300 平洋上均盛行较为一致的异常东风气流，中东太平洋及热带大西洋则为西风异常，而东南太
301 平洋上空则为一较强的异常气旋式环流。现有的研究发现，在年代际和多年代际尺度上，印
302 度洋海温变化可通过大气桥对太平洋地区产生影响，印度洋海温增暖主要通过调整印度—太
303 平洋地区上空东西向 Walker 环流，从而对太平洋上空的大气环流系统产生影响（Johnson and
304 Xie, 2010; Luo et al., 2012）。相对于印度洋，大西洋海温的年代际变化对太平洋地区的影响
305 较为复杂，且其影响主要可通过热带和热带外两种途径。其热带途径为：通过热带大西洋增

306 暖产生的对流响应和大气非绝热加热引起的 Gill 型响应，在热带大西洋出现 Walker 环流的
307 异常上升支，相应地在赤道中东太平洋出现异常的下沉支，并通过风—蒸发—海温反馈机制
308 可导致赤道中东太平洋出现冷海温异常和赤道西太平洋暖海温异常，东西向海温异常反过来
309 又进一步加强太平洋地区的 Walker 环流，并有利于拉尼娜事件的发生 (Kucharski et al., 2016;
310 Li et al., 2016)。而热带外途径则为：北大西洋增暖后通过增强局地的对流活动和北太平洋
311 的下沉运动，可导致副热带北太平洋高压异常增强以及西北太平洋异常反气旋的生成（在图
312 8b 中得到大致的体现），并通过局地海气相互作用致使西北太平洋海温异常升高 (Sun et al.,
313 2017)。

314 然而，上述两片海区的年代际增暖是否对 2016 年秋季南方降水异常产生影响？如有影
315 响，其影响过程和机制如何还有待通过数值模拟来验证。



316
317 图 8 近十年秋季平均相对多年秋季平均的物理量差值场

318 a. 降水距平百分比 (单位: %);

319 b. 500 hPa 位势高度距平场 (填色, 单位: gpm) (等值线为近十年秋季平均的 500 hPa 位势高度场) 及 850
320 hPa 风场距平分布 (箭头, 单位: m/s)

321 Fig. 8 Differences of autumn meteorological variables between average in the past ten years and multi-year
322 average

323 a. Precipitation anomaly percentage (units: %);

324 b. Geopotential height anomalies at 500 hPa (shaded, units: gpm) (contours denote 500 hPa geopotential height in
325 autumn, 2016) and wind anomalies at 850 hPa (arrows, units: m/s)

327 5 数值模拟

328 以上分析表明，2016 年秋季热带西太平洋和西北太平洋年际尺度上的异常偏暖可能是
329 导致同期我国南方降水偏多的主要原因，然而，基于观测资料分析则无法确定热带西太平洋
330 和其他海区的海温异常所起的作用以及它们的相对重要性。此外，印度洋和北大西洋年代际
331 上的异常增暖是否对 2016 年秋季降水也存在影响？接下来，我们将利用 CAM5.3 模式进行
332 模拟研究。

333 5.1 试验方案

334 本文共设计了 1 个控制试验和 9 个敏感性试验（表 1），以探究不同海区的海温异常对
335 我国南方秋季降水的可能影响。控制试验以 1981–2010 年秋季平均的气候态海温作为下边界

336 条件，共运行 20 年，然后取后 15 年模式输出结果进行分析。9 个敏感性试验与控制试验相
337 同，不同之处在于每个敏感性试验后 15 年的运行过程中在不同的海区 9—11 月间分别叠加了
338 观测的海温异常分布。

表 1 试验方案

Tabel 1. Schemes of the numerical experiments

种类	名称	下边界强迫区域
控制试验	CTL	气候态海温
赤道西太平洋试验	TWP	叠加 2016 年秋季赤道西太平洋 (15°S — 15°N , 100° — 160°W) 的海温异常
赤道中东太平洋试验	TCEP	叠加 2016 年秋季赤道中东太平洋 (7°S — 10°N , 180° — 80°W) 的海温异常
北太平洋试验	NP	叠加 2016 年秋季北太平洋 (40° — 60°N , 150°E — 120°W) 的海温异常
西北太平洋试验	WNP	叠加 2016 年秋季西北太平洋 (20° — 40°N , 120° — 150°E) 的海温异常
东南太平洋试验	SEP	叠加 2016 年秋季东南太平洋 (10° — 30°S , 160° — 70°W) 的海温异常
赤道大西洋试验	TA	叠加 2016 年秋季赤道大西洋 (7°S — 7°N , 28°W — 10°E) 的海温异常
北大西洋试验	NA	叠加近 10 年秋季平均的北大西洋 (0° — 66°N , 90°W — 0°) 海温异常
印度洋试验	IO	叠加近 10 年秋季平均的印度洋 (30°S — 20°N , 40° — 110°E) 海温异常
中纬度北太平洋试验	MNP	叠加近 10 年秋季平均的北太平洋中纬度地区 (23° — 60°N , 130° — 202°E) 的海温异常

341

342 5.2 试验结果分析

343 在 9 个敏感性试验中，其中 3 个敏感性试验的结果表现为我国南方降水明显增多，它们
344 分别是 TWP、SEP 和 NA 试验，表明 2016 年秋季赤道西太平洋和东南太平洋海温异常偏高
345 以及北大西洋的异常增暖都会对 2016 年我国南方秋季降水异常产生影响。而其他 6 组敏感
346 性试验中的海温异常则对华南秋季降水均无明显影响，因此，这 6 个海区的海温异常并非是
347 影响 2016 年秋季我国南方地区降水偏多的关键区域，其结果这里不再赘述。下面我们主要
348 讨论 TWP、SEP 和 NA 三个数值试验的结果。

349 5.2.1 TWP 试验

350 图 9a 给出了 TWP 试验与 CTL 试验中模拟的秋季降水量差值分布。由图可见，赤道西

351 太平洋海温异常偏暖可导致我国华南秋季降水明显增多，华南大部分地区降水偏多达两成以
352 上。

353 从两个试验模拟的秋季 500 hPa 位势高度差值场（图 9b）上可见，我国东部地区至西北
354 太平洋上空为一个显著的正位势高度异常，表明赤道西太平洋海温异常增暖可导致西北太平
355 洋副热带高压明显增强、位置偏北偏西。另外，从位势高度差值场上还可以看到，贝加尔湖
356 至日本以东上空为一位势高度负异常区，白令海到北美阿拉斯上空为一位势高度场正异常
357 区，而整个北美上空为位势高度负异常，上述位于东亚沿岸正负相间的位势高度异常场分布
358 类似于夏季东亚—太平洋遥相关型波列（Huang and Li, 1987）。因此，当秋季赤道西太平洋
359 海温异常偏高时，可通过激发类似东亚—太平洋遥相关型波列，从而对西太平洋副热带高压
360 强度和位置产生影响，致使西北太平洋副热带高压明显增强、位置偏北偏西，有利于华南秋
361 季降水异常增多。

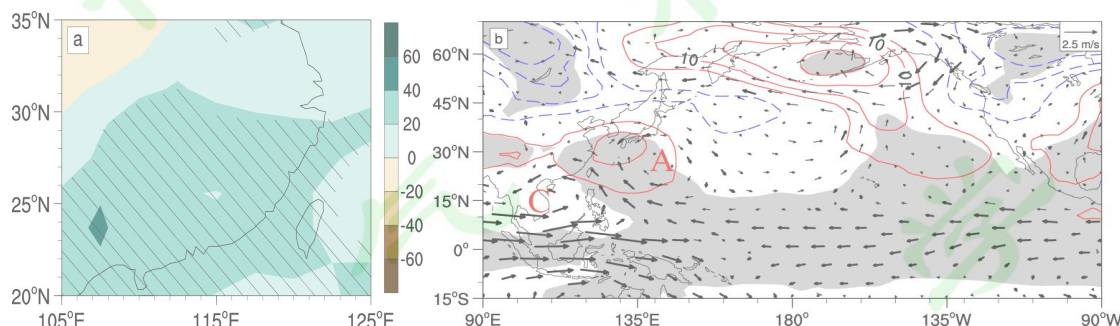


图 9 TWP 试验与 CTL 试验的差值场

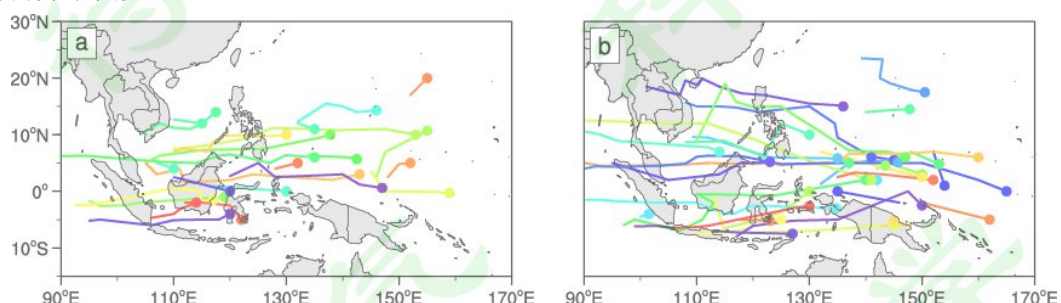
362
363 a. 降水距平百分比（单位：%，斜线区域表示通过信度为 90% 的显著性检验）；
364 b. 500 hPa 位势高度距平场（等值线，单位：gpm，阴影表示通过信度为 90% 的显著性检验）及 850 hPa 风
365 场距平分布（箭头，单位：m/s，粗箭头表示通过信度为 90% 的显著性检验）（“A”和“C”分别表示气
366 旋和反气旋）
367

Fig. 9 Differences between the TWP and CTL experiments

368
369 a. Precipitation anomaly percentage (units: %, slashed areas denote the values significant at the confidence level
370 of 90%);
371 b. Geopotential height anomalies at 500 hPa (contours, units: gpm, shaded areas denote the values significant at
372 the confidence level of 90%) and wind anomalies at 850 hPa (arrows, units: m/s, the thick arrows denote the values
373 significant at the confidence level of 90%) (“A” and “C” represent cyclone and anti-cyclone, respectively)

374
375 从两个试验 850 hPa 风场的差值场（图 9b）上清楚可见，赤道西太平洋海温异常增暖在
376 对流层低层产生了类似于 Gill 型的响应（Gill, 1980），即赤道印度洋、海洋性大陆以及热
377 带西太平洋上空出现西风异常，而在热带中东太平洋上空出现东风异常，东西风异常在赤道
378 西太平洋附近辐合。同时，在中南半岛至南海上空出现了一个异常气旋性环流，该异常气旋
379 性常环流并向东南方向扩展至菲律宾以东及赤道地区，而台湾以东及日本以南的西北太平洋
380 上为一异常反气旋性环流，与观测结果相一致。上述南海至菲律宾以东地区的异常气旋性环

流同样有利于类似夏季南海至赤道西太平洋地区季风槽的形成。前人研究也表明，当赤道西太平洋异常偏暖时，西北太平洋季风槽位置偏北偏西，西北太平洋上空台风生成位置和移动路径偏北偏西，从而导致影响我国的台风个数偏多（Chen and Huang, 2008）。这也可以从控制试验和 TWP 试验中模拟的热带涡旋的个数加以验证（图 10）。这里，我们参考 Chelton 等（2011）和黄挺等（2020）的方法，把 850 hPa 上同时满足以下条件的大气扰动定义为热带涡旋：①扰动中心位于 20°S - 20°N ；②流场上有明显的气旋式环流；③相对湿度小于 0；④涡旋直径小于等于 700 km。经统计，CTL 试验中秋季西太平洋和西北太平洋上空出现了 24 个热带涡旋，而 TWP 试验中的热带涡旋明显增加，总数达到了 35 个，且其强度和持续时间均有明显增加、移动路径偏北偏西。以上结果也从一定程度上解释了 2016 年秋季台风为何异常偏多。



391
392 图 10 秋季西太平洋和西北太平洋上空逐个涡旋生成位置（圆点）及移动路径（折线）：

393 (a) CTL 试验; (b)TWP 试验

394 Fig. 10 Vortex generation positions (dots) and moving tracks (broken lines) over the western and northwestern
395 Pacific in autumn: (a) CTL experiment; (b) TWP experiment

396
397 综上所述，赤道西太平洋海温异常偏高时，一方面通过激发一个类似夏季东亚—太平洋
398 型遥相关的波列影响西太平洋副热带高压强度和位置，导致西太平洋副热带高压明显增强、
399 位置明显偏北偏西，另一方面，通过在对流层低层产生类似 Gill 型的大气响应，在南海至
400 菲律宾以东地区产生异常气旋性环流（类似于夏季南海—西太平洋季风槽），有利于台风的
401 发生发展，从而对我国华南秋季降水产生影响。

402 5.2.2 SEP 试验

403 图 11a 为 SEP 试验与 CTL 试验中模拟的秋季降水量差值分布。由图可见，东南太平洋
404 出现异常暖海温时，我国南方地区秋季降水偏多，且西部和西南部分别出现了偏多两成以上的
405 降水。

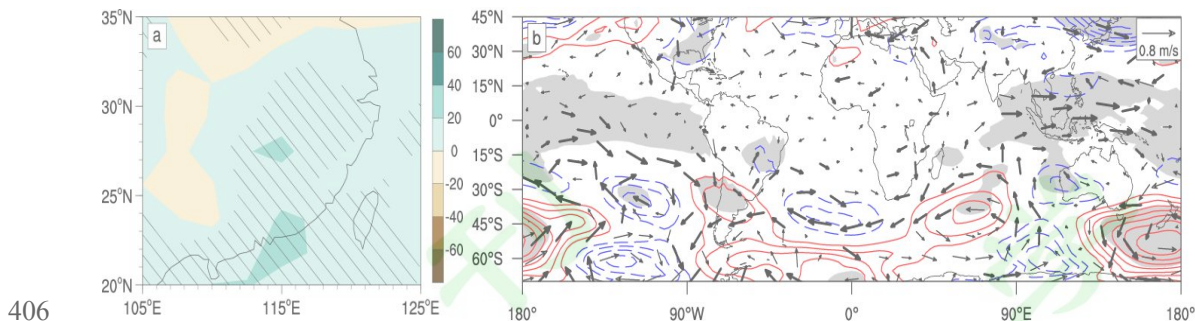


图 11 同图 9, 但为 SEP 试验与 CTL 试验的差值场

Fig. 11 Same as in Fig. 9, except for the differences between the SEP and CTL experiments

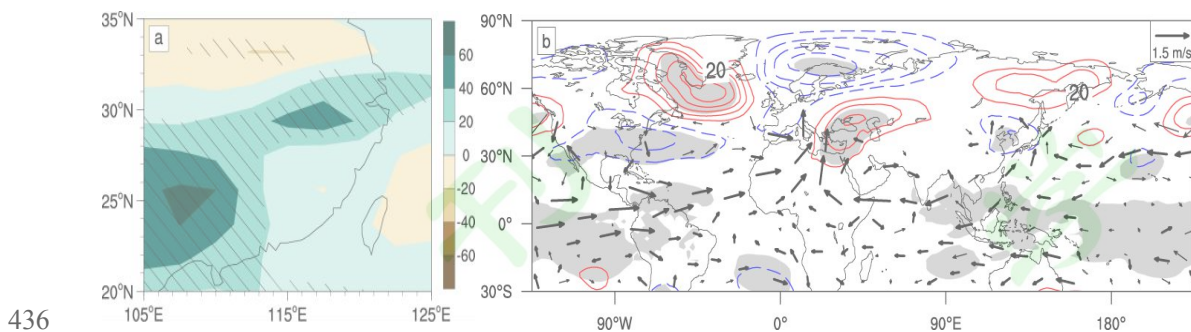
从两个试验 500 hPa 高度场及 850 hPa 风场的差值场（图 11b）上可见，东南太平洋上空为显著的气旋性环流异常和负位势高度异常，同时，在东南太平洋经南美、南大西洋、南印度洋至澳洲西部的中高纬地区呈现出一支正负相间的位势高度异常波列。该异常波列非常类似于南半球中高纬地区太平洋南美振荡(Pacific South American oscillation, 简称 PSA)(MO and Ghil, 1987; Szeredi and Karoly, 1987a, 1987b)。当该异常波列传播到澳大利亚及以北上空时为一明显的气旋性异常环流，并在热带西印度洋、南海和热带西太平洋上空形成一致的西风异常，同时在南海北部至菲律宾以东的西北太平洋形成异常的气旋式环流（类似于南海—西北太平洋季风槽），从而对我国南方降水产生影响。

5.2.3 NA 试验

图 12a 给出了 NA 试验与 CTL 试验中模拟的秋季降水量差值分布。由图可见，北大西洋的异常增暖也可导致我国南方降水异常偏多，在 30°N 附近偏多达四成以上。

从两个试验模拟的秋季 500 hPa 位势高度差值场（图 12b）上可见，在西北大西洋至欧亚地中海海上空明显构成了一个负—正—负—正位势高度中心相间的异常波列。从 200 hPa 准定常波活动通量异常（图略）上可更直观地看到该波列的传播特征，即源自加拿大东海岸经北大西洋向西南欧方向传播，并在欧亚大陆中纬地区继续向下游一直传播到阿拉伯半岛、阿拉伯半岛及印度半岛上空。而从两个试验模拟的 850 hPa 差值风场（图 12b）上则可以清楚看出，热带大西洋及以西地区上空激发出了明显的西风异常，而在热带印度洋上空出现了一致的东风异常。上述东西风异常分布非常类似于低纬热带大气对热带北大西洋异常增暖在其东西两侧分别所产生的 Kelvin 波和 Rossby 波响应（Gill, 1980）。相应地，在热带西太平洋上空也出现了显著的东风异常，这也与 Ham 等（2013）的研究结果相一致，他们也发现热带印度洋上空对流层大气对热带北大西洋的非绝热加热可产生 Kelvin 波型的正厚度异常的响应，并且当该异常信号在东传的过程中可在热带西太平洋形成明显的东风异常。以上热带洋面上空的风场异常分布与海温年代际变化对应的低层风场异常特征（图 8b）较为相似。尤其值得注意的是，在副热带西北太平洋上空相应出现了异常的反气旋式环流，该异常反气旋环流的形成也与 Kelvin 波东传至热带西太平洋地区上空有关（容新尧等, 2010; Ham et al.,

435 2013)。



436
437 图 12 同图 9, 但为 NA 试验与 CTL 试验的差值场

438 Fig. 12 Same as in Fig. 9, except for the differences between the NA and CTL experiments

439

440 综合所述, 秋季北大西洋的异常增暖, 可能主要通过在热带地区激发向东传播的 Kelvin
441 波, 从而对西北太平洋副热带环流产生影响, 进而影响到我国南方秋季降水。

442 6 结论和讨论

443 2016 年秋季中国南方降水异常偏多, 是近 50 年来秋季降水最多的年份。本文利用中国
444 气象台站降水观测资料、Hadley 海温和 NCEP/NCAR 再分析数据集等资料, 分析了造成 2016
445 年秋季中国南方降水异常偏多的环流特征及其海温影响, 得到了以下主要结论:

446 (1) 2016 年秋季东亚副热带高空西风急流异常偏强, 中国南方地区刚好位于急流入口
447 区的右侧, 为异常降水提供了有利的上升运动条件; 同时, 西太平洋副热带高压较往年强度
448 异常偏强、面积明显偏大、位置偏北偏西, 其西南侧的偏南风与来自孟加拉湾的异常西南气
449 流在南海上空汇合后北上到达中国南方地区, 为中国南方异常降水提供了充足的水汽条件。

450 (2) 2016 年秋季中国南方降水异常偏多的原因之一是同期西北太平洋台风生成数和登
451 陆我国台风数都较往年异常偏多, 而西北太平洋台风生成与登陆台风的异常偏多可能主要与
452 热带西太平洋的海温异常偏高有关。

453 (3) 去除了登陆台风造成的降水量后, 南方降水仍异常较往年偏多五成以上, 而降水
454 的异常偏多主要与年际尺度上热带西太平洋和东南太平洋海温的异常偏高有关。通过一系列
455 的数值试验表明, 热带西太平洋海温异常偏高时, 一方面通过激发一个类似夏季东亚—太平
456 洋型遥相关的波列, 导致西太平洋副热带高压明显增强、位置明显偏北偏西, 另一方面, 通
457 过在对流层低层产生类似 Gill 型的大气响应, 在南海至菲律宾以东地区产生异常气旋性环
458 流(类似于夏季南海—西太平洋季风槽), 从而对我国南方秋季降水产生影响。而东南太平
459 洋海温异常偏高时, 通过激发一个类似跨越东南太平洋—南印度洋—澳大利亚的遥相关波
460 列, 引起热带西印度洋、南海和热带西太平洋上空大气环流异常, 从而对我国南方秋季降水
461 带来影响。

462 本文主要针对造成 2016 年秋季我国南方降水异常的环流特征及海温异常进行了分析。
463 事实上, 导致我国南方秋季降水异常的成因可能还有很多, 如欧亚地表热力异常(黄菱芳等,

464 2015)、多种大气涡动(刘晓云等, 2016; 徐金霞等, 2017)等, 这些因子是否对2016年
465 秋季降水存在影响有待进一步分析。

466

467

468

469

470

471

472 参考文献

- 473 Chelton D B, Schlax M G, Samelson R M, et al. 2011. Global observations of nonlinear mesoscale eddies [J].
474 Progress in Oceanography, 91(2): 167–216.
- 475 Chen G H, Huang R H. 2008. Influence of monsoon over the warm pool on interannual variation on tropical
476 cyclone activity over the western North Pacific [J]. Advances in Atmospheric Sciences, 25(2): 319–328.
- 477 Chen Y, Zhai P M. 2014. Two types of typical circulation pattern for persistent extreme precipitation in
478 Central-Eastern China [J]. Quarterly Journal of the Royal Meteorological Society, 140(682): 1467–1478.
- 479 陈剀, 钟霖浩, 华丽娟, 等. 2020. 华西秋雨趋势变化的年代际转折及其成因分析 [J]. 气候与环境研究,
480 25(1): 90–102. Chen K, Zhong L H, Hua L J, et al. 2020. Analysis on the interdecadal transition and its
481 causes of the autumn precipitation trend in West China [J]. Climatic and Environmental Research (in
482 Chinese), 25(1): 90–102. doi:10.3878/j.issn.1006-9585.2019.18116
- 483 陈海山, 周晶. 2013. 土壤湿度年际变化对中国区域极端气候事件模拟的影响研究 II. 敏感性试验分析 [J].
484 大气科学, 37(1): 1–13. Chen H S, Zhou J. 2013. Impact of interannual soil moisture anomaly on simulation
485 of extreme climate events in China. Part II: Sensitivity experiment analysis [J]. Chinese Journal of
486 Atmospheric Sciences (in Chinese), 37 (1): 1–13.
- 487 Coumou D, Rahmstorf S. 2012. A decade of weather extremes [J]. Nature Climate Change, 2(7): 491–496.
- 488 丁一汇. 2015. 论河南“75.8”特大暴雨的研究: 回顾与评述 [J]. 气象学报, 73(3): 411–424. Ding Y H. 2015.
489 On the study of the unprecedented heavy rainfall in Henan Province during 4–8 August 1975: Review and
490 assessment [J]. Acta Meteorologica Sinica (in Chinese), 73(3): 411–424. doi:10.11676/qxb2015.067
- 491 丁一汇, 王遵娅, 宋亚芳, 等. 2008. 中国南方2008年1月罕见低温雨雪冰冻灾害发生的原因及其与气候变
492 暖的关系 [J]. 气象学报, 66(5): 808–825. Ding Y H, Wang Z Y, Song Y F, et al. 2008. Causes of the
493 unprecedented freezing disaster in January 2008 and its possible association with the global warming [J].
494 Acta Meteorologica Sinica (in Chinese), 66(5): 808–825. doi: 10.3321/j.issn:0577-6619.2008.05.014
- 495 方浩, 乔云亭. 2019. 中国东部夏季极端降水时空分布及环流背景 [J]. 热带气象学报, 35(4): 517–527.
496 Fang H, Qiao Y T. 2019. Temporal and spatial distribution of summer extreme precipitation and circulation
497 background over eastern China [J]. Journal of Tropical Meteorology (in Chinese), 35(4): 517–527.
- 498 Feng S, Hu Q. 2004. Variations in the teleconnection of ENSO and summer rainfall in northern China: a role of the
499 Indian summer monsoon [J]. Journal of Climate, 17(24): 4871–4881.
- 500 高荣, 宋连春, 钟海玲. 2018. 2016年汛期中国降水极端特征及与1998年对比 [J]. 气象, 44(5): 699–703.
501 Gao R, Song L C, Zhong H L. 2018. Characteristics of extreme precipitation in China during the 2016 flood
502 season and comparison with the 1998 situation [J]. Meteorological Monthly (in Chinese), 44(5): 699–703.

- 503 Gill A E. 1980. Some simple solutions for heat-induced tropical circulation [J]. Quarterly Journal of the Royal
504 Meteorological Society, 106(449): 447–462.
- 505 Ham Y G, Kug J S, Park J Y, et al. 2013. Sea surface temperature in the north tropical Atlantic as a trigger for El
506 Niño/Southern Oscillation events [J]. Nature Geoscience, 6(2): 112–116.
- 507 何金海, 刘伯奇, 吴国雄. 2014. 春末夏初南亚高压的形成过程及其与 ENSO 事件的联系 [J]. 大气科学, 38
508 (4): 670–684. He J H, Liu B Q, Wu G X. 2014. Formation of South Asia high from late spring to early
509 summer and its association with ENSO events [J]. Chinese Journal of Atmospheric Sciences (in Chinese), 38
510 (4): 670–684.
- 511 何金海, 吴志伟, 江志红, 等. 2006. 东北冷涡的“气候效应”及其对梅雨的影响 [J]. 科学通报, 51(23):
512 2803–2809. He J H, Wu Z W, Jiang Z H, et al. 2006. “Climate effect” of Northeast China cold vortex and
513 its influence on the Meiyu [J]. Chinese Science Bulletin (in Chinese), 51(23): 2803–2809.
- 514 黄菱芳, 陈海山, 郑旭程, 等. 2015. 欧亚大陆夏季地表热力异常与同期中国东部夏季降水的可能联系 [J].
515 气候与环境研究, 20(6): 620–634. Huang L F, Chen H S, Zheng X C, et al. 2015. Summer land surface
516 thermal anomalies over Eurasia and their relationship with summer rainfall in East China [J]. Climatic and
517 Environmental Research (in Chinese), 20(6): 620–634.
- 518 黄刚, 胡开明, 屈侠, 等. 2016. 热带印度洋海温海盆一致模的变化规律及其对东亚夏季气候影响的回顾 [J].
519 大气科学, 40(1): 121–130. Huang G, Hu K M, Qu X, et al. 2016. A review about Indian Ocean basin mode
520 and its impacts on East Asian summer climate [J]. Chinese Journal of Atmospheric Sciences (in Chinese),
521 40(1): 121–130.
- 522 黄荣辉, 刘永, 冯涛. 2013. 20世纪90年代末中国东部夏季降水和环流的年代际变化特征及其内动力成因
523 [J]. 科学通报, 58(8): 617–628. Huang R H, Liu Y, Feng T. 2013. Interdecadal change of summer
524 precipitation over eastern China around the late-1990s and associated circulation anomalies, internal
525 dynamical causes [J]. Chinese Science Bulletin (in Chinese), 58(8): 617–628.
- 526 Huang R H, Li W J. 1987. Influence of the heat source anomaly over the tropical western Pacific on the
527 subtropical high over East Asia [C]//Proceedings of International Conference on the General Circulation of
528 East Asia. Chengdu, China, 10–15 April, 1987, 40–51.
- 529 黄荣辉, 孙凤英. 1994. 热带西太平洋暖池的热状态及其上空的对流活动对东亚夏季气候异常的影响 [J].
530 大气科学, 18(2): 140–151. Huang R H, Sun F Y. 1994. Impacts of the thermal state and the convective
531 activities in the tropical western warm pool on the summer climate anomalies in East Asia [J]. Chinese
532 Journal of Atmospheric Sciences (in Chinese), 18(2): 140–151.
- 533 黄士松, 汤明敏. 1995. 我国南方初夏汛期和东亚夏季风环流 [J]. 热带气象学报, 11(3): 203–213. Huang S
534 S, Tang M M. 1995. The early summer flood periods of southern China and the summer monsoon circulation
535 of East Asia [J]. Journal of Tropical Meteorology (in Chinese), 11(3): 203–213.
- 536 黄荣辉, 徐予红, 周连童. 1999. 我国夏季降水的年代际变化及华北干旱化趋势 [J]. 高原气象, 18(4):
537 465–476. Huang R H, Xu Y H, Zhou L T. 1999. The interdecadal variation of summer precipitations in
538 China and the drought trend in North China [J]. Plateau Meteorology (in Chinese), 18(4): 465–476.
- 539 黄挺, 周锋, 田娣, 等. 2020. 孟加拉湾及其毗邻海域中尺度涡旋活动的冬夏季差异 [J/OL]. 海洋学研究:
540 1–20[2020–06–12]. Huang T, Zhou F, Tian D, et al. 2020. Seasonal variations of meso-eddies in the Bay of
541 Bengal and its adjacent regions [J/OL]. Journal of Marine Sciences (in Chinese), 1–20[2020–06–12].
- 542 Izrael Y A, Semenov S M, Anisimov O A, et al. 2007. The fourth assessment report of the intergovernmental panel
543 on climate change: Working group II contribution [J]. Russian Meteorology and Hydrology, 32(9): 551–556.
- 544 金荣花, 李维京, 张博, 等. 2012. 东亚副热带西风急流活动与长江中下游梅雨异常关系的研究[J]. 大气科
545 学, 36(4): 722–732. Jin R H, Li W J, Zhang B, et al. 2012. A study of the relationship between East Asia
546 subtropical westerly jet and abnormal Meiyu in the middle-lower reaches of the Yangtze River [J]. Chinese

- 547 Journal of Atmospheric Sciences (in Chinese), 36(4): 722–732.
- 548 Johnson N C, Xie S. 2010. Changes in the sea surface temperature threshold for tropical convection [J]. Nature
549 Geoscience, 3(12): 842–845.
- 550 Kalnay E. 1996. NCEP/NCAR 40-year reanalysis project [J]. Bulletin of the American Meteorological Society,
551 77(3): 437–472.
- 552 Kucharski F, Ikram F, Molteni F, et al. 2016. Atlantic forcing of Pacific decadal variability [J]. Climate Dynamics,
553 46(7): 2337–2351.
- 554 李崇银, 穆明权. 2001. 赤道印度洋海温偶极子型振荡及其气候影响 [J]. 大气科学, 25(4): 433–443. Li C Y,
555 Mu M Q. 2001. The dipole in the equatorial Indian Ocean and its impacts on climate [J]. Chinese Journal of
556 Atmospheric Sciences (in Chinese), 25(4): 433–443.
- 557 李业进, 王黎娟. 2016. 西太平洋暖池热状态变异及其邻近地区对流活动特征 [J]. 大气科学学报, 39(2):
558 156–165. Li J Y, Wang L J. 2016. Variability of the thermal state of the western Pacific warm pool and the
559 characteristics of its adjacent convective activities [J]. Transactions of Atmospheric Sciences (in Chinese),
560 39(2): 156–165.
- 561 Li X, Xie S, Gille S T, et al. 2016. Atlantic-induced pan-tropical climate change over the past three decades [J].
562 Nature Climate Change, 6(3): 275–279.
- 563 李崇银, 朱锦红, 孙照渤. 2002. 年代际气候变化研究 [J]. 气候与环境研究, 7(2): 209–219. Li C Y, Zhu J H,
564 Sun Z B. 2002. The study interdecadal climate variation [J]. Climatic and Environmental Research (in
565 Chinese), 7(2): 209–219.
- 566 梁萍, 周兵, 马悦, 等. 2019. 2017年秋季华西秋雨的多时间尺度变化特征及成因分析 [J]. 气象, 45(8):
567 1104–1112. Liang P, Zhou B, Ma Y, et al. 2019. Characteristics of variability on multiple timescales and
568 cause analysis of autumn rainfall in West China During 2017 [J]. Meteorological Monthly (in Chinese), 45(8):
569 1104–1112.
- 570 Liu K S, Chan J C L. 2003. Climatological characteristics and seasonal forecasting of tropical cyclones making
571 landfall along the South China coast [J]. Monthly Weather Review, 131(8, Part 1): 1650–1662.
- 572 Liu X, Ma P, Wang H, et al. 2015. Description and evaluation of a new four-mode version of the Modal Aerosol
573 Module (MAM4) within version 5.3 of the Community Atmosphere Model [J]. Geoscientific Model
574 Development, 9(2): 505–522.
- 575 刘晓云, 王劲松, 杨金虎, 等. 2016. APO 异常对我国西北地区东部秋季干湿变化影响 [J]. 应用气象学报,
576 27(4): 454–462. Liu X Y, Wang J S, Yang J H, et al. 2016. The relationship between the autumn drought in
577 the eastern part of Northwest China and the summer Asian-Pacific oscillation [J]. Journal of Applied
578 Meteorological Science (in Chinese), 27(4): 454–462.
- 579 刘慧斌, 温敏, 何金海, 等. 2012. 东北冷涡活动的季节内振荡特征及其影响 [J]. 大气科学, 36(5): 959–973.
580 Liu H B, Wen M, He J H, et al. 2012. Characteristics of the northeast cold vortex at intraseasonal timescale
581 and its impact [J]. Chinese Journal of Atmospheric Sciences (in Chinese), 36(5): 959–973.
- 582 Luo J, Sasaki W, Masumoto Y, et al. 2012. Indian Ocean warming modulates Pacific climate change [J].
583 Proceedings of the National Academy of Sciences of the United States of America, 109(46): 18701–18706.
- 584 梅双丽, 牛若芸. 2017. 2016年11月大气环流和天气分析 [J]. 气象, 43(2): 249–256. Mei S L, Niu R Y. 2017.
585 Analysis of the November 2016 atmospheric circulation and weather [J]. Meteorological Monthly (in
586 Chinese), 43(2): 249–256.
- 587 Mo K C, Ghil M. 1987. Statistics and dynamics of persistent anomalies [J]. Journal of the Atmospheric Sciences,
588 44(5): 877–902.
- 589 Rayner N A, Parker D E, Horton E B, et al. 2003. Global analyses of sea surface temperature, sea ice, and night
590 marine air temperature since the late nineteenth century [J]. Journal of Geophysical Research, 108(D14):

- 591 4407.
- 592 任福民, Gleason B, Easterling D. 2001. 一种识别热带气旋降水的数值方法 [J]. 热带气象学报, 17(3):
593 308–313. Ren F M, Gleason B, Easterling D. 2001. A numerical technique for partitioning cyclone tropical
594 precipitation [J]. Journal of Tropical Meteorology (in Chinese), 17(3): 308–313.
- 595 容新尧, 张人禾, Li T. 2010. 大西洋海温异常在 ENSO 影响印度—东亚夏季风中的作用 [J]. 科学通报,
596 55(14): 1397–1408. Rong X Y, Zhang R H, Li T. 2010. Impacts of Atlantic sea surface temperature
597 anomalies on Indo-East Asian summer monsoon-ENSO relationship [J]. Chinese Science Bulletin, 55(14):
598 1397–1408.
- 599 沙天阳, 徐海明, 邹松佐. 2013. 中国西南地区东部秋季干旱的环流特征及其成因分析 [J]. 大气科学学报,
600 36(5): 593–603. Sha T Y, Xu H M, Zou S Z. 2013. Atmospheric circulation characteristics and cause
601 analysis for autumn drought in the eastern region of Southwest China [J]. Transactions of Atmospheric
602 Sciences (in Chinese), 36(5): 593–603.
- 603 Sun C, Kucharski F, Li J, et al. 2017. Western tropical Pacific multidecadal variability forced by the Atlantic
604 multidecadal oscillation [J]. Nature Communications, 8(1): 1–10.
- 605 Szeregi I, Karoly D. 1987a. The vertical structure of monthly fluctuations of the Southern Hemisphere troposphere
606 [J]. Australian Meteorological Magazine, 35(1): 19–30.
- 607 Szeregi I, Karoly D. 1987b. The horizontal structure of monthly fluctuations of the Southern Hemisphere
608 troposphere from station data [J]. Australian Meteorological Magazine, 35(3): 119–129.
- 609 陶诗言, 卫捷. 2006. 再论夏季西太平洋副热带高压的西伸北跳 [J]. 应用气象学报, 17(5): 513–525. Tao S
610 Y, Wei J. 2006. The westward northward advance of the subtropical high over the West Pacific in summer.
611 Journal of Applied Meteorological Science (in Chinese), 17(5): 513–525.
- 612 陶诗言, 张庆云. 1998. 亚洲冬夏季风对 ENSO 事件的响应 [J]. 大气科学, 22(4): 399–407. Response of the
613 Asian winter and summer monsoon to ENSO events [J]. Chinese Journal of Atmospheric Sciences (in
614 Chinese), 22(4): 399–407.
- 615 Trenberth K E, Fasullo J T. 2012. Climate extremes and climate change: The Russian heat wave and other climate
616 extremes of 2010 [J]. Journal of Geophysical Research, 117: D17103.
- 617 王黎娟, 管兆勇, 何金海, 等. 2009. “05. 6” 华南强降水期间副热带高压活动与加热场的关系 [J]. 气象学
618 报, 67(4): 666–673. Wang L J, Guan Z Y, He J H, et al. 2009. Relationship between activity of western
619 Pacific subtropical high and diabatic heating during heavy rain in South China in June 2005 [J]. Acta
620 Meteorologica Sinica (in Chinese), 67(4): 666–673.
- 621 王咏梅, 任福民, 王小玲, 等. 2006. 中国台风降水分离客观方法的改进研究 [J]. 气象, 32(3): 6–10. Wang
622 Y M, Ren F M, Wang X L, et al. 2006. The study on the objective technique for partitioning tropical cyclone
623 precipitation in China [J]. Meteorological Monthly (in Chinese), 32(3): 6–10.
- 624 Wang C, Wu L, Zhao H, et al. 2019. Is there a quiescent typhoon season over the western North Pacific following
625 a strong El Niño event [J]. International Journal of Climatology, 39(1): 61–73.
- 626 Whitney L F. 1977. Relationship of the subtropical Jet Stream to severe local storms [J]. Monthly Weather Review,
627 105(4): 398–412.
- 628 Wu M C, Chang W L, Leung W M, et al. 2004. Impacts of El Niño-Southern Oscillation events on tropical
629 cyclone landfalling activity in the western North Pacific [J]. Journal of Climate, 17(6): 1419–1428.
- 630 吴萍, 丁一汇, 柳艳菊. 2017. 厄尔尼诺事件对中国夏季水汽输送和降水分布影响的新研究 [J]. 气象学报,
631 75 (3): 371–383. Wu P, Ding Y H, Liu Y J. 2017. A new study of El Niño impacts on summertime water
632 vapor transport and rainfall in China [J]. Acta Meteorologica Sinica (in Chinese), 75 (3): 371–383.
- 633 徐金霞, 闫彩霞, 钟燕川, 等. 2017. 北半球秋季欧亚遥相关与华西秋雨的关系 [J]. 气象科技, 45(3):
634 492–498. Xu J X, Yan C X, Zhong Y C, et al. 2017. Relationships between Eurasian teleconnection pattern

- 635 in Northern Hemisphere autumn and autumn rainfall in West China [J]. Meteorological Science and
636 Technology (in Chinese), 45(3): 492–498.
- 637 杨修群, 黄士松. 1993. 外强迫引起的夏季大气环流异常及其机制探讨 [J]. 大气科学, 17(6): 697–702.
- 638 Yang X Q, Huang S S. 1993. On the mechanism of summertime atmospheric anomalies induced by external
639 forcing [J]. Chinese Journal of Atmospheric Sciences (in Chinese), 17(6): 697–702.
- 640 Yang Q, Ma Z G, Xu B L. 2017. Modulation of monthly precipitation patterns over East China by the Pacific
641 Decadal Oscillation [J]. Climatic Change, 144(3): 405–417.
- 642 Ying M , Zhang W , Yu H , et al. 2014. An overview of the China meteorological administration tropical cyclone
643 database [J]. Journal of Atmospheric and Oceanic Technology, 31(2): 287–301.
- 644 袁媛, 高辉, 李维京, 等. 2017. 2016 年和 1998 年汛期降水特征及物理机制对比分析 [J]. 气象学报, 75(1):
645 19–38. Yuan Y, Gao H, Li W J, et al. 2017. Analysis and comparison of summer precipitation features and
646 physical mechanisms between 2016 and 1998 [J]. Acta Meteorologica Sinica (in Chinese), 75(1): 19–38.
- 647 瞿盘茂, 李蕾, 周佰铨, 等. 2016. 江淮流域持续性极端降水及预报方法研究进展 [J]. 应用气象学报, 27(5):
648 631–640. Zhai P M, Li L, Zhou B Q, et al. 2016. Progress on mechanism and prediction methods for
649 persistent extreme precipitation in the Yangtze-Huai river valley [J]. Journal of Applied Meteorological
650 Science (in Chinese), 27(5): 631–640.
- 651 Zhan R, Wang Y, Liu Q, et al. 2017. Salient differences in tropical cyclone activity over the western North Pacific
652 between 1998 and 2016 [J]. Journal of Climate, 30(24): 9979–9997.
- 653 张庆云, 郭恒. 2014. 夏季长江淮河流域异常降水事件环流差异及机理研究 [J]. 大气科学, 38(4): 656–669.
- 654 Zhang Q Y, Guo H. 2014. Circulation differences in anomalous rainfall over the Yangtze River and Huaihe
655 River valleys in summer [J]. Chinese Journal of Atmospheric Sciences (in Chinese), 38(4): 656–669.
- 656 张耀存, 况雪源. 2008. 东亚副热带西风急流位置变化与亚洲夏季风爆发的关系 [J]. 暴雨灾害, 27(2):
657 97–103. Zhang Y C, Kuang X Y. 2008. The relationship between the location change of the East Asian
658 subtropical westerly jet and Asian summer monsoon onset [J]. Torrential Rain and Disasters (in Chinese),
659 27(2): 97–103.
- 660 张庆云, 吕俊梅, 杨莲梅, 等. 2007. 夏季中国降水型的年代际变化与大气内部动力过程及外强迫因子关系
661 [J]. 大气科学, 31(6): 1290–1300. Zhang Q Y, Lü J M, Yang L M, et al. 2007. The interdecadal variation
662 of precipitation pattern over China during summer and its relationship with the atmospheric internal dynamic
663 processes and extra-forcing factors [J]. Chinese Journal of Atmospheric Sciences (in Chinese), 31(6):
664 1290–1300.
- 665 Zhang F Y, Pan A J, Fan L L. 2018. Interdecadal differences in correlations between the winter precipitation over
666 the southern China and El Niño events and their causes [J]. Journal of Marine Meteorology, 38(4): 38–44.
- 667 张庆云, 陶诗言. 2003. 夏季西太平洋副热带高压异常时的东亚大气环流特征 [J]. 大气科学, 27(3): 369–380.
- 668 Zhang Q Y, Tao S Y. 2003. The anomalous subtropical anticyclone in western Pacific and their association
669 with circulation over East Asia during summer [J]. Chinese Journal of Atmospheric Sciences (in Chinese),
670 27(3): 369–380.
- 671 张顾炜, 曾刚, 倪东鸿, 等. 2016. 西南地区秋季干旱的年代际转折及其可能原因分析 [J]. 大气科学, 40(2):
672 311–323. Zhang G W, Zeng G, Ni D H, et al. 2016. Decadal shift of autumn drought in Southwest China
673 and its possible causes [J]. Chinese Journal of Atmospheric Sciences (in Chinese), 40(2): 311–323.
- 674 竺可桢. 1934. 东南季风与中国之雨量 [J]. 地理学报, 1(1): 1–27. Chu C. 1934. The enigma of southeast
675 monsoon in China [J]. Acta Geographica Sinica (in Chinese), 1(1): 1–27.
- 676 竺夏英, 宋文玲. 2017. 2016 年秋季中国气候特征及其可能成因 [J]. 气象, 43(4): 495–500. Zhu X Y, Song
677 W L. 2017. Features of climatic anomalies in China during the fall of 2016 and the possible causes [J].
678 Meteorological Monthly (in Chinese), 43(4): 495–500.